

СТРУКТУРА РЕЗОНАНСНОЙ ОБЛАСТИ ПОГЛОЩЕНИЯ ЯДЕР ^{238}U И ^{232}Th И ЗАВИСИМОСТИ ЕЕ ПАРАМЕТРОВ ОТ ТЕМПЕРАТУРЫ

И.В. Шаманин, А.В. Годовых

Томский политехнический университет

E-mail: shamanin@k21.phtd.tpu.ru

Анализируются структуры резонансных областей в зависимостях сечений поглощения нейтронов от их энергии для четно-четных ядер ^{238}U и ^{232}Th . Теоретически обоснованы преимущества использования ^{232}Th в качестве сырьевого нуклида при изготовлении ядерного топлива перспективных реакторов. В результате анализа установлены причины возрастания значений отрицательного температурного эффекта реактивности и оптимального водно-топливного отношения в тепловых реакторах в случае использования торий содержащих ядерных топливных композиций.

Состояние вопроса

В работах [1, 2] было показано, что использование плутоний-ториевых топливных композиций приводит к значительному росту оптимального отношения объема воды (замедлителя) к объему топлива, что обеспечивает возможность изменения параметров конструкции тепловыделяющих сборок (ТВС) ядерных реакторов.

Определение спектра нейтронов и пространственного распределения нейтронного потока в численных экспериментах [1, 2] проводилось в 6-ти групповом приближении с использованием пакета прикладных программ V.S.O.P.(97) [3]. Структурная схема расчетного кода приведена на рис. 1.

Расчет спектра нейтронов проводился на базе кодов GAM-1 и THERMOS [3]. Код «THERMOS» представляет нейтронный спектр в 30-ти групповом приближении в энергетическом диапазоне от 2,05 до 10^{-5} эВ. Коды позволяют задавать в объеме активной зоны неограниченное количество спектральных зон с соответствующими типами спектров. Код GAM-1 представляет нейтронный спектр в 68-ми групповом приближении в энергетическом

диапазоне от 10 до 0,414 МэВ. Групповые константы подготавливались в P1-приближении. При этом учитывались эффекты, обусловленные гетерогенностью, и фактор самоэкранировки. Сечения резонансного поглощения определялись для ^{232}Th , ^{238}U и ^{242}Pu на базе кода ZUT-DGL [4, 5]. Коэффициенты утечки нейтронов из спектральных зон определялись в процессе диффузионных расчетов.

Непосредственно перед нейтронно-физическими расчетами проводилась свертка 98 групп в 6 групп с энергетическими границами: 10,5...2,5 МэВ; 2,5...0,8 МэВ; 800...46,5 кэВ; 46,5...0,215 кэВ; 215...0,414 эВ; менее 0,414 эВ – эпитепловая и тепловая группы.

Предварительная процедура «гомогенизации» предполагает учет всех конструктивных элементов ТВС и активной зоны, а также наличие H_2BO_3 в воде первого контура. Это позволяет достаточно близко к условиям реального случая определить материальный состав во всех элементах расчетной области.

Обнаруженные в численных экспериментах эффекты указывают на возможность изменений конструкции ТВС, которые могут носить как частный,

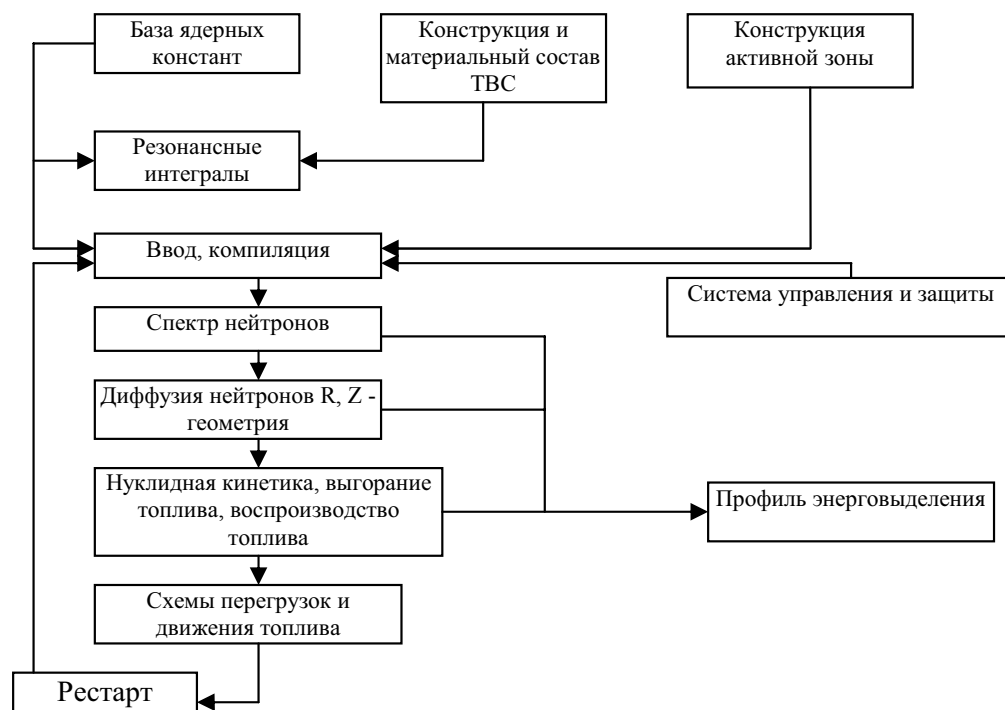


Рис. 1. Структура пакета прикладных программ V.S.O.P.

так и общий характер. Некоторые из них позволяют пересмотреть концепцию отвода тепла из активной зоны ядерных реакторов. Поскольку в работах [1, 2] преследовалась цель получить и описать интегральные параметры плутоний-ториевого цикла на базе легководного реактора под давлением, то в них не были подробно описаны физические детали двух установленных по интегральным характеристикам эффектов. Первый — это значительное смещение оптимума отношения объемов замедлителя и топлива при замене сырьевого нуклида ^{238}U на ^{232}Th , а второй — возрастание отрицательного температурного эффекта реактивности, вызванное особенностями проявления Доплер-эффекта на торий содержащих топливных композициях.

В данной работе анализируются особенности резонансных областей в зависимостях сечений поглощения нейтронов от энергии последних для сырьевых четно-четных нуклидов ^{238}U и ^{232}Th и, таким образом, определяются причины выше указанных эффектов.

Общие сведения

Четно-четные ядра $^{238}\text{U}_{92}$ альфа-радиоактивны, период их полураспада составляет $4,468 \cdot 10^9$ лет. В природной изотопной смеси изотопов урана содержится 99,2746 % изотопа ^{238}U . Четно-четные ядра $^{232}\text{Th}_{90}$ стабильны, а торий в природе на 100 % представлен этим изотопом. Четно-четные ядра «не делятся» тепловыми нейтронами, а испытывают лишь спонтанные деления без участия других частиц, так как являются нейтронно-избыточными [6].

Микроскопическое сечение поглощения в тепловой области энергий нейтронов для ядра ^{232}Th

составляет около 12 б и заметно превосходит такое для ^{238}U (2,7 б). В резонансной области энергий микросечение поглощения ^{232}Th значительно меньше сечений поглощения ^{238}U . В «быстрой» области значения микросечений поглощения ^{238}U и ^{232}Th близки, а в некоторых энергетических интервалах быстрой области сечение для ^{232}Th больше [7, 8].

С целью избежания неоднозначности при описании свойств ядер в различных интервалах энергии нейтронов следует изначально определиться с границами энергетических интервалов. Общепринятым является многогрупповое приближение, в котором весь диапазон энергий разбивается на 26 или 28 групп [7, 8]. 28-групповое приближение отличается тем, что в нем добавлены еще 2 «быстрых» энергетических интервала, которым соответствуют номера групп нейтронов «0» и «-1». Границы энергетических интервалов для групп, начиная с первой, как в 26-ти, так и в 28-групповом приближении, идентичны. Последняя группа с номером «26» — это тепловая группа. Часто ей присваивают индекс «Т» вместо номера «26».

Резонансы в зависимостях сечения поглощения нейтронов, как для ^{238}U , так и для ^{232}Th расположены в энергетическом интервале, верхняя граница которого составляет 4,65 кэВ [9]. То есть, в группах, начиная с 13-й и заканчивая эпитепловыми. Наименьшее значение энергии, которому соответствует сильный резонансный максимум микросечения поглощения для ^{238}U , имеющий значение около 11 000 б, составляет около 7 эВ. Оно попадает в энергетический интервал, соответствующий группе с номером «21»: 4,65...10 эВ.

Резонансный интеграл в случае «бесконечного разбавления» ядер резонансного поглотителя является идеализированной характеристикой, но позволяет при ее использовании получать верные количественные характеристики при сопоставительном анализе нейтронно-физических процессов. Для ^{238}U его значение составляет около 280 б, а для ^{232}Th — около 90 б [10]. Эффективное значение резонансного интеграла можно представить в виде суммы двух слагаемых [11]. Анализ показывает, что первое из них представляет собой макроскопическое сечение поглощения среды. Его значение растёт при уменьшении «разбавления», то есть с ростом концентрации ядер резонансного поглотителя. Второе слагаемое обратно пропорционально квадратному корню из значения концентрации ядер резонансного поглотителя и, таким образом, с ростом концентрации уменьшается. Так, например, при увеличении концентрации поглотителя в 4 раза первое слагаемое возрастет также в 4 раза, а второе — уменьшится в 2 раза. В целом, эффективное значение резонансного интеграла увеличивается при уменьшении «разбавления».

В случае если поглощающие ядра в лабораторной системе координат можно считать неподвижными, микроскопическое сечение поглощения на одиночном резонансе определяется формулой Брейта-Вигнера [12]:

$$\sigma(E) = \sigma_r \sqrt{\frac{E_r}{E}} \frac{\frac{\Gamma^2}{4}}{(E - E_r)^2 + \frac{\Gamma^2}{4}}, \quad (1)$$

где E — энергия нейтрона, σ_r — амплитуда и E_r — положение резонанса, Γ — его полная ширина.

Тепловое движение ядер резонансного поглотителя вызывает изменение формы линии поглощения. Это изменение называется эффектом Доплера и состоит в следующем. Линия резонанса с ростом температуры становится более широкой, амплитуда резонанса падает, площадь линии поглощения не изменяется. Ширина «опасной энергетической зоны», в которой нейтрон может быть захвачен, из-за Доплер-эффекта увеличивается. При этом вероятность «проскочить» ее для нейтрона, который в процессах рассеяния на ядрах замедлителя теряет энергию и перемещается по энергетической шкале в тепловую группу, уменьшается.

Доплеровская ширина определяется соотношением:

$$\Delta = 2 \sqrt{\frac{m E_r k T}{M}}, \quad (2)$$

где m — масса нейтрона, M — ядра резонансного поглотителя, k — постоянная Больцмана, T — температура.

Вероятности для нейтрона быть в ближайшем столкновении резонансно захваченным или рассеянным на ядре замедлителя находятся в отношении $(\sigma_c C_r)/(\sigma_m C_m)$ если исключить из рассмотрения

все другие процессы. Здесь σ_c — микросечение поглощения, σ_s — рассеяния, C — концентрация ядер, индекс r — относится к резонансному поглотителю, m — к замедлителю. В работе Я.Б. Зельдовича (совместно с Ю.Б. Харитоном) [13] из выражения (1) выделен член, который при малых энергиях ведет себя как $E^{-1/2}$, для того чтобы соответствующее сечение учесть наряду с остальными, не имеющими резонансов. Остающаяся функция определяет только поглощение в резонансах. В комментариях редакции издательства «Наука» к работе Я.Б. Зельдовича и Ю.Б. Харитона [13] отмечено, что при решении уравнения для суммарной вероятности нейтрону быть замедленным, не подвергнувшись захвату в опасной резонансной области, получается, что вероятность избежать резонансного захвата определяется соотношением:

$$-\ln \varphi = \left(\frac{\pi}{2} \right) \sum_i \left(\frac{\Gamma_i}{E_{r_i}} \right) [\eta \sigma_s (1 + \eta \sigma_s / \sigma_{r_i}) / \sigma_{r_i}]^{-1/2}, \quad (3)$$

где суммирование ведется по всем резонансам, i — номер резонанса, $\eta = C_m / C_r$.

Структура резонансной области в многогрупповом приближении

В табл. 1 и 2 приведены результаты свертки параметров резонансной области поглощения для ядер ^{238}U и ^{232}Th . Во всех других энергетических группах резонансным поглощением можно пренебречь.

В табл. 1 и 2 введены величины, характеризующие резонансное поглощение в энергетической группе. Это $\bar{\sigma}_r$, представляющее собой среднее арифметическое от микросечений поглощения в одиночных резонансах, находящихся в пределах соответствующей группы. По-существу, и в анализе, и в расчетах полагается, что в каждой группе находится один резонанс, резонансный максимум сечения поглощения в котором составляет $\bar{\sigma}_r$. Положение этого резонанса на шкале энергий нейтронов E_r соответствует середине энергетического интервала для группы. Ширина такого «усредненного» в пределах группы резонанса составляет $\bar{\Gamma}$. Величина 2ω входит как множитель в выражение (2), определяющее Доплеровскую ширину «усредненного» резонанса $\bar{\Delta} = 2\omega\sqrt{T}$, и характеризует чувствительность резонанса к изменениям температуры, так как

$$\frac{d\bar{\Delta}}{dT} = \omega T^{-1/2}.$$

Чем больше значение ω , тем сильнее увеличивается ширина «опасной энергетической зоны» при том же росте температуры резонансного поглотителя.

Усреднение резонансных максимумов в пределах энергетической группы и «приведение» резонанса к середине энергетического интервала, соответствующего данной энергетической группе, вызывает «искусственное» увеличение энергетического интервала между отдельными резонансами.

Таблица 1. Характеристики резонансов ^{238}U

Номер группы	Границы энергетического интервала, эВ	Номер резонанса	E_r , эВ	σ_r , б	0,5Г, эВ	$\bar{\sigma}_r$, б	\bar{E}_r , эВ	$\bar{\Gamma}_r$, эВ	$2\omega = \left(\frac{mk\bar{E}_r}{M} \right)^{1/2}$, в системе СГСЕ
21	4,65...10,0	1	7	11000	0,7	11000	7,325	1,4	$5,21 \cdot 10^{-15}$
20	10,0...21,5	2	21	8000	1	8000	15,75	2,0	$7,65 \cdot 10^{-15}$
19	21,5...46,5	3	37	12000	1,5	12000	34,0	3,0	$1,12 \cdot 10^{-14}$
18	46,5...100	4	66	4500	1	2400	73,25	1,7	$1,65 \cdot 10^{-14}$
		5	81	300	0,7				
17	100...215	6	103	6000	1,25	2990	157,5	2,5	$2,42 \cdot 10^{-14}$
		7	117	2000	1				
		8	146	150	0,8				
		9	190	5000	2				
		10	209	1800	1,2				
16	215...465	11	237,5	800	1	472,857	340	2,28571	$3,55 \cdot 10^{-14}$
		12	273	600	1,5				
		13	293	350	1				
		14	348	1000	1,5				
		15	397,5	140	0,8				
		16	411	300	1				
		17	433	120	1,2				
15	465...1000	18	518	380	1	412	732,5	3,66667	$5,21 \cdot 10^{-14}$
		19	536	350	2				
		20	580	200	1,5				
		21	595	600	1,5				
		22	620	300	0,7				
		23	662	800	2				
		24	694	250	2				
		25	708	140	0,8				
		26	822	260	1,5				
		27	850	250	1,5				
		28	858	450	2				
		29	905	200	2				
		30	938	500	2				
		31	960	500	2,5				
		32	990	1000	4,5				
14	1000...2150	33	1055	200	2	268,611	1575	6,55556	$7,65 \cdot 10^{-14}$
		34	1110	100	2				
		35	1140	400	2,5				
		36	1168	200	2				
		37	1178	125	2				
		38	1195	210	2				
		39	1245	500	3,5				
		40	1394	350	3				
		41	1405	180	3				
		42	1474	150	2,5				
		43	1598	350	4				
		44	1622	500	4				
		45	1638	150	4				
		46	1662	250	3				
		47	1688	120	3				
		48	1755	100	3				
		49	1782	500	5				
		50	1975	450	8,5				
13	2150...4650	51	2022	225	3,5	165,625	3400	9,875	$1,12 \cdot 10^{-13}$
		52	2152	190	4				
		53	2186	340	6				
		54	2549	130	5,5				
		55	2559	100	4				
		56	2581	100	4,5				
		57	2598	140	6				
		58	2884	100	6				

Таблица 2. Характеристики резонансов ^{232}Th

Номер группы	Границы энергетического интервала, эВ	Номер резонанса	E_n , эВ	σ_n , б	$0,5\Gamma$, эВ	$\bar{\sigma}_n$, б	\bar{E}_n , эВ	$\bar{\Gamma}_n$, эВ	$2\omega = \left(\frac{mk\bar{E}_n}{M}\right)^{1/2}$, в системе CGSE
21	4,65...10,0	–	–	–	–	–	–	–	–
20	10,0...21,5	–	–	–	–	–	–	–	–
19	21,5...46,5	1	22,5	1000	2	1000	34,0	4,0	$1,14 \cdot 10^{-14}$
18	46,5...100	2	60	1000	1,25	1000	73,25	4,25	$1,67 \cdot 10^{-14}$
		3	68	1000	3				
17	100...215	4	114	425	1	405	157,5	2,2	$2,45 \cdot 10^{-14}$
		5	121,5	600	1				
		6	129	200	0,5				
		7	171	600	1,5				
		8	193	330	1,25				
		9	199	275	1,35				
16	215...465	10	221,5	400	1,5	373	340	4,05	$3,60 \cdot 10^{-14}$
		11	251,5	375	1,5				
		12	263	250	1,5				
		13	286,5	350	1,5				
		14	306,5	275	1,5				
		15	328	800	2				
		16	342	400	2				
		17	365	325	3,75				
		18	402	180	1,5				
		19	463	375	3,5				
15	465...1000	20	489	350	3	196,25	732,5	4,75	$5,28 \cdot 10^{-14}$
		21	528	150	2,5				
		22	570	175	2				
		23	657	230	3				
		24	666	100	2				
		25	687	200	2				
		26	714	125	2				
		27	745	350	3				
		28	805	350	4				
		29	890	100	1,5				
		30	945	100	2				
		31	995	125	1,5				
14	1000...2150	32	1010	125	2,5	122,5	1575	6,2	$7,74 \cdot 10^{-14}$
		33	1248	130	2,5				
		34	1292	100	2,5				
		35	1353	100	2				
		36	1397	125	3				
		37	1426	105	2,5				
		38	1520	115	5				
		39	1589	150	3,5				
		40	1630	175	5				
		41	1960	100	2,5				
		42	2285	105	3,5				
13	2150...4650	43	2508	110	4	108,3333	3400	7,66667	$1,14 \cdot 10^{-13}$
		44	2732	110	4				

Точность определения параметров гомогенного блок-эффекта при этом практически не изменяется. Параметры гетерогенного эффекта при этом определяются с точностью не хуже 2 % – резонансное поглощение незначительно занижается.

Резонансные поглотители ^{238}U и ^{232}Th в сравнении

Анализ структуры резонансной области в многогрупповом приближении показывает, что у ^{232}Th резонансы (по сравнению с ^{238}U) отсутствуют в двух

эпитепловых группах 21 и 20, то есть в энергетических интервалах 4,65...10,0 и 10,0...21,5 эВ, соответственно. ^{238}U имеет 8 мощных резонансов, расположенных в группах, начиная с 21-й по 17-ю. Это обеспечивает большие значения максимумов сечений поглощения в «усредненных резонансах», расположенных в этих группах. ^{232}Th характеризуется наличием большого количества резонансных линий с относительно небольшим максимумом сечения поглощения, а расположены они в интервале энергий 20...4050 эВ. Следует отметить, что До-

плер-эффект на ядрах ^{232}Th проявляется значительно. Об этом свидетельствует сравнение значений в энергетических группах, начиная с 19-ой. Сама доплеровская ширина резонансов для ядер ^{232}Th превосходит таковую для ^{238}U в интервале температур 293...1093 К в среднем на 1,3 %. В совокупности, это обеспечивает превосходство Доплер-эффекта на отдельном ядре ^{232}Th почти на 1,6 % по сравнению с ^{238}U .

Изменение значения сечения ядерной реакции на 1...2 % для специалиста в области физики атомного ядра и элементарных частиц не представляет интереса. Как правило, это изменение меньше, чем погрешность определения сечения в экспериментах. Но если говорить о физике ядерных реакторов, то такое изменение более чем существенно.

Достаточно напомнить, что общий запас реактивности ядерного реактора составляет всего 10...15 %, а эффективная доля запаздывающих нейтронов в таком реакторе не превышает 0,7 %. Ядерным реактором можно управлять только тогда, когда эффективный коэффициент размножения в нем превосходит единицу на величину меньшую эффективной доли запаздывающих нейтронов.

При нормальной эксплуатации ядерного реактора правилами ядерной безопасности допускаются отклонения эффективного коэффициента размножения (в сторону, большую единицы) в десятые доли процента.

Таким образом, присутствие в активной зоне реактора резонансного поглотителя, который одновременно является сырьевым нуклидом, с преимуществами в части проявления на нем Доплер-эффекта в 1...2 % делает ядерный реактор более безопасным.

Как уже было отмечено, эффект Доплера вызывает уменьшение резонансного максимума. Для ^{232}Th , в целом по энергетическим группам, это уменьшение гораздо меньше. Особенно показательной является 16-я энергетическая группа. В табл. 3 приведены значения функции для ядер ^{238}U и ^{232}Th , которая характеризует отношение резонансного максимума при температуре к максимуму при температуре 273,3 К. Значения определяются в рамках формализма, изложенного в [12].

Итак, можно констатировать, что увеличение температуры вызывает больший рост ширины «опасной энергетической зоны» при меньшем снижении резонансного максимума на ядрах ^{232}Th . Площадь под линией резонанса остается прежней, но изменяется форма линии. Она описывается функцией:

$$\Psi(x, \zeta) = \frac{\zeta}{2\sqrt{\pi}} \int_{-\infty}^{+\infty} \frac{\exp[-\frac{1}{4}\zeta^2(x-y)^2]}{1+y^2} dy,$$

где $x=2(E'-E)/\Gamma$; $\zeta=\Gamma/\Delta$; $E'=m'v^2/2$; $m'=mM/(m+M)$ – приведенная масса и $v=(2E/m)^{1/2}$ – скорость нейтрона.

Доплер-эффект на ядре ^{232}Th вызывает больший рост резонансного поглощения нейтронов по сравнению с ^{238}U , но основное преимущество ^{232}Th связано с отсутствием резонансов в 20-ой и 21-ой энергетических группах. Еще раз следует отметить, что у ^{238}U в этих группах расположены 2 мощных резонанса с максимумами микросечений поглощения около 8 000 и 11 000 б, соответственно.

Отсутствие резонансов у ^{232}Th в двух эпитепловых группах приводит к тому, что при замедлении нейтронов в торий содержащей среде возрастает значение плотности замедления нейтронов в энергетическом интервале, соответствующем сумме интервалов этих групп. Следовательно, возрастает плотность потока нейтронов в группах, начиная с 22-ой, вплоть до 26-ой – тепловой группы. Увеличение отношения концентрации ядер замедлителя к концентрации ядер топлива, в состав которого входит и сырьевой нуклид, вместе с отмеченным эффектом должно еще больше усиливать возрастание плотности потока нейтронов в группах 22–26(Т) по сравнению с ^{238}U . По-существу увеличивается вероятность для нейтронов избежать резонансного захвата. Это вывод, полученный на качественном уровне, можно подтвердить аналитически.

Значение вероятности избежать резонансного захвата должно быть максимальным при определенном отношении объема замедлителя к объему резонансного поглотителя. Величина η в соотношении (3) обратно пропорциональна этому отношению. Таким образом, нахождение оптимального значения отношения объемов замедлителя и топлива сводится (в первом приближении) к определению экстремума функции $-\ln\phi(\eta)$, которая описывается соотношением (3). Значение η , при котором выполняется равенство нулю производной $d\phi/d\eta$, определяется соотношением:

$$\eta = \frac{1}{2} \cdot \frac{\sigma_{f_i}}{\sigma_s}.$$

Это значение является положительным корнем вытекающего из (3) трансцендентного уравнения.

Решение этого уравнения в случае, когда рассеяние происходит на ядрах водорода, а резонансное поглощение на ядрах ^{232}Th или ^{238}U , показывает что вероятность избежать резонансного захвата максимальна при отношениях концентраций ядер, указанных в табл. 4.

Таблица 3. Уменьшение амплитуды резонансов в 16-ой энергетической группе

T, K	293	393	493	593	693	793	893	993	1093
^{232}Th	0,982835	0,977349	0,972027	0,966861	0,961839	0,956953	0,952196	0,947558	0,943035
^{238}U	0,952022	0,938197	0,925332	0,913293	0,901975	0,891295	0,88118	0,871573	0,862424

Таблица 4. Оптимальное отношение концентрации ядер замедлителя к концентрации ядер резонансного поглотителя для энергетических групп нейтронов

Номер группы	^{238}U	^{232}Th
21	270,93	–
20	197,04	–
19	295,57	24,63
18	59,11	24,63
17	73,64	9,98
16	11,65	9,19
15	10,15	4,83
14	6,62	3,02
13	4,08	2,67

Отношение концентраций ядер веществ обратно пропорционально отношению объемов, занимаемых единицей массы этих веществ. Из этого следует, что $C_m/C_r \sim (V_r A_r)/(V_m A_m)$, а оптимальное отношение объема замедлителя V_m к объему резонансного поглотителя V_r , который входит в состав топлива как сырьевой нуклид, определяется пропорцией:

$$\left(\frac{V_m}{V_r}\right)_{opt} \sim \frac{A_r}{A_m} \cdot \frac{2\sigma_s}{\sigma_r},$$

где A_r и A_m – атомные массы резонансного поглотителя и замедлителя, соответственно.

Из приведенных данных следует, что оптимальное отношение объема легководного замедлителя к объему топлива в случае торий содержащего топлива в 2...5 раз превосходит таковое для случая топлива, сырьевой нуклид в котором ^{238}U . Погрешность, вызванная использованием параметров «усредненных» резонансов, как было отмечено ранее, не превышает 2 %, что практически не влияет на данный результат.

Заключение

Структуры резонансной области поглощения нейтронов у нуклидов ^{238}U и ^{232}Th существенно отличаются как по интегральным, так и по дифференциальным характеристикам. Большее значение резонансного интеграла для ^{238}U обусловлено наличием в структуре его резонансной области 8 мощных резонансов и большими значениями (в среднем) отдельных резонансных максимумов по сравнению с ^{232}Th . В энергетических интервалах, соответствующих 20-ой и 21-ой энергетическим группам нейтро-

нов, у ^{232}Th резонансы вообще отсутствуют, в то время как у ^{238}U в этих интервалах расположены резонансные максимумы сечений, составляющие около 8000 и 11000 б, соответственно. Доплеровская ширина у резонансов ^{232}Th больше, а снижение отдельных резонансных максимумов при увеличении температуры – меньше. Оптимальное отношение концентрации ядер замедлителя к концентрации ядер резонансного поглотителя, при котором вероятность избежать резонансного захвата для замедляющихся нейтронов максимальна, в случае ^{238}U значительно превышает таковое для ^{232}Th . Это приводит к тому, что оптимальное отношение объема замедлителя к объему топлива, содержащего резонансный поглотитель, в случае торий содержащих ядерных топливных композиций в несколько раз выше, чем в случае уранового топлива.

Структура резонансной области в зависимости сечения поглощения нейтронов от энергии последних для сырьевого четно-четного нуклида ^{232}Th обеспечивает ему неоспоримые преимущества по сравнению с ^{238}U в части обеспечения безопасности ядерных реакторов на тепловых нейтронах, топливом которых являются торий содержащие композиции. Преимущества обусловлены тем, что торий, как резонансный поглотитель, обеспечивает большие значения отрицательных температурных коэффициентов реактивности, а смещение оптимума водно-топливного отношения в сторону больших значений позволяет пересмотреть привычные и общепринятые подходы при конструировании тепло-выделяющих элементов и тепловыделяющих сборок ядерных реакторов. В частности, возможность увеличения отношения объема замедлителя к объему топлива создает предпосылки для создания активных зон, тепловая инерция которых значительно выше привычных значений. Большая тепловая инерция активной зоны стабилизирует интегральные нейтронно-физические параметры ядерного реактора в случае возникновения локальных неустойчивостей и нивелирует действие быстрого положительного мощностного эффекта реактивности при резких сбросах нейтронной мощности. Ядерные реакторы с топливом, в состав которого входит ^{232}Th как сырьевой нуклид, являются более безопасными по сравнению с реакторами, активная зона которых загружена урановым топливом.

СПИСОК ЛИТЕРАТУРЫ

1. Shamanin I.V., Ukhov A.A., Rutten H.-J., Haas K.A., Sherer W. The Use of (Th, U, Pu)O₂ Fuel in a Water Water Energy Reactor (WWER-1000): Physics and Fuel Cycle Simulation by means of the V.S.O.P. (97) Computer Code // Forschungszentrum Julich. FZJ – ISR – IB – 1/1999. – 40 p.
2. Шаманин И.В., Ухов А.А., Рюттен Г.-Й., Хаас К., Шерер В. Результаты моделирования параметров топливного цикла для водно-водяного энергетического реактора // Известия вузов. Ядерная энергетика. – 2000. – № 4. – С. 53–64.
3. Rutten H.-J., Haas K.A., Brokman H., Ohlig U., Sherer W. V.S.O.P. (97) Computer Code System for Reactor Physics and Fuel Cycle Simulation. Input Manual and Comments // Forschungszentrum Julich. Jul. – 3522/1997. – 160 p.
4. Nordheim L.W., Kuncir G.F. A Program of Research and Calculations of Resonance Absorptions // General Atomic. GA-2527/1977. – 132 p.
5. Breitbarth R., Teuchert E. Resonanzintegralberechnung fuer mehrfach heterogene Anordnungen // Kernforschungsanlage Juelich. Jul-551-RG/1977. – 54 p.

6. Радиационный захват нейтронов: Справочник / Т.С. Беланова, А.В. Игнатюк, А.Б. Пашенко, В.И. Пляскин. – М.: Энергоатомиздат, 1986. – 248 с.
7. Абагян Л.П., Базазянц Н.О., Бондаренко И.И., Николаев М.Н. Групповые константы для расчета ядерных реакторов. – М.: Атомиздат, 1964. – 140 с.
8. Групповые константы для расчета реакторов и защиты: Справочник / Л.П. Абагян, Н.О. Базазянц, А.М. Цибуля. Под ред. М.Н. Николаева. – М.: Атомиздат, 1981. – 231 с.
9. JENDL-3.2 DATA BASE, Plots & Data: CD TM-J058, OP792A, IFPI L303. – Japan Atomic Energy Research Institute. Nuclear Data Center, 1997 JAERI.
10. Мурогов В.М., Троянов М.Ф., Шмелев А.Н. Использование теории в ядерных реакторах. – М.: Энергоатомиздат, 1983. – 96 с.
11. Галанин А.Д. Теория ядерных реакторов на тепловых нейтронах. – М.: Изд-во Главного управления по использованию атомной энергии, 1959. – 383 с.
12. Ахиезер А.И., Померанчук И.Я. Некоторые вопросы теории ядра. – М.: Гостехиздат, 1950. – 316 с.
13. Зельдович Я.Б. Избранные труды. Частицы, ядра, Вселенная. – М.: Наука, 1985. – 464 с.